

九州産業大学工学部 正員 吉村 健
 九州大学応用力学研究所 正員 中村泰治
 九州産業大学工学部 学生員・坂田正二

1. まえがき 着者らは、簡易吊橋(無補剛人道橋)の耐風安定性を研究する上で必要な基礎資料を得る目的のため、宮崎県内の数個の簡易吊橋について調査・実験を行なった。その結果は文献(1)に記したところである。この調査では、冬期季節風や台風によって簡易吊橋がフラッタを生じているか否かについても現地住民に問い合わせた。その結果、調査した吊橋うちの一つ(湯の町橋)は、冬期季節風により、“蛇がくねる”ような振動を生じ、通行困難となることがあるとの返答を得た。そこで、実橋におけるフラッタ観測と風洞による模型実験を行ない、両者を比較検討することにした。本報告では、風洞実験結果について述べることにしたい。

2. 風洞実験の概要 湯の町橋は、スパン長 = 66.8m, サゲ比 = 0.06 の簡易吊橋である。その断面形状を図-1に示す。表-1は、実橋について実施した振動試験結果と線型従度理論に基づいた数値計算結果であるか¹⁾発生し得るフラッタとしては表中各次の曲げ振動とねじり振動が選成したものと考えられる。また、実橋の対数減衰率は、0.07～0.18のように大きい値を示している。そこで、風洞実験では、曲げとねじりの振動数比 $R = f_b/f_g$ の変化が容易で、かつ、系の減衰の制御が容易な二次元ばね支持模型を用いることにした。ここに、 f_b と f_g は、それぞれ無風時の曲げとねじりの振動数である。

使用した模型を図-2に示す。この模型は 1/3.5 檻尺模型であり、アルミニウムの角パイプと丸パイプならびに硬質の泡スチロール板で作られている。図にみる補剛トラスは、模型の剛性を保つために附加したものであるが、その充実率を極力小さくして気流を乱さないよう配慮した。実験では、曲げの振動数を一定(1.72Hz)にし、断面中心すわりのねじりの振動数を 1.76～3.31Hz の範囲で種々変化させ、フラッタ特性をしらべた。模型の平均迎角はゼロである。曲げと

ねじりの減衰は、それぞれ、粘性ダンパーと電磁ダンパーで制御した。系の無次元質量は $2^3/\rho b^2 \cdot 203$ 、無次元慣性モーメントは $2^3/\rho b^2 = 27.4 \sim 98.8$ 、無風時の曲げとねじりの対数減衰率は、それぞれ、 $\delta_R = 0.0340 \sim 0.0879$ と $\delta_b = 0.0226 \sim 0.139$ であり、減衰パラメーターは $C_R = 2^3/\rho b^2 \cdot \delta_R = 6.90 \sim 17.8$ 、 $C_b = 2^3/\rho b^2 \cdot \delta_b = 1.88 \sim 11.6$ である。実橋の減衰パラメーターが、 $C_R = 13.4 \sim 22.5$ 、 $C_b = 7.85 \sim 16.5$ であるから、ほぼ相似則を満足している。

実験は、新設の九州産業大学汎用風洞装置を用いて行なわれた。本風洞は、風速 2～30 m/s、測定部断面 1.5 × 1.5m の噴流式風洞である。

3. 実験結果 図-3 と 図-4 に得られた結果の一例を示す。これらは、それぞれ、振動数比 $R = 0.65$ と $R = 0.91$ の場合の結果である。図中、CASE 1～CASE 3 は、それぞれ、 $[C_R = 8.59, C_b = 2.25]$ 、 $[C_R = 16.0, C_b = 4.75]$ および $[C_R = 16.0, C_b = 10.9]$ の場合の結果であり、横軸は無次元風速 $\bar{V} = V/f_b$ 、縦軸は風流中ににおける系の対数減衰率と見かけのねじり中心 X/b である。ここに、 V は風速、 b は半弦長($=30\text{cm}$)、 f_b は風流中ににおける系の振動数であり、 $X/b = -1$ は見かけのねじり中心が前縁にあることを示す。 $R = 0.65$ の場合、フラッタ限界風速 \bar{V}_F は系の減衰パラメーターの値によって異なり、 $\bar{V}_F = 14 \sim 16.5$ である。 \bar{V}_F より高風速域では風速を増加すると、系の減衰率は急激に増加する。一方、 $R = 0.91$ の場合、 $\bar{V}_F = 9 \sim 13.5$ であり、 $R = 0.65$ の場合のそれより低い値を示す。また、 $\bar{V} > \bar{V}_F$ における δ はいわんやろやかに増加するが、 $\bar{V} > 16$ では減少の傾向を示す。その原因是、平均迎角が変化する点にある。 X/b については、いずれの場合とも、風速を増加とともに増加する。 $R = 0.91$ の場合、 X/b が大きい値を示しているが、このことは、曲げ振動が卓然としてフラッタであることを表わしている。

$0.52 < R < 0.86$ におけるフラッタ特性は、図-3 と ほぼ同様であった。また、 $R = 0.93$ の場合の結果も図-4 とほぼ

同様であったが、 $R=0.98$ ではフランクタは発生せず、高風速域でダイバージェンスが発生した。これらの結果を取りまとめ、 $R-\bar{V}_F$ 曲線として図示したものと表-5に示す。 $R=0.9$ の近傍で \bar{V}_F は極小値を示す。表-5の結果は、補剛トラス吊橋(道路橋)に関する著者らの風洞実験結果(2)とよく類似している。

4. 実橋のフランクタ限界風速　表-5の $R-\bar{V}_F$ 曲線上表-1に示した実橋の実験値を用いて、実橋におけるフランクタ限界風速の推定値を得た。その結果を表-2に示す。実橋では曲げ対称2次とねじり対称1次、あるいは曲げ対称1次とねじり逆対称1次の各振動の連成したフランクタが、風速約17%で発生する結果となっていた。すなわち、冬期季節風でもフランクタが発生し得る。

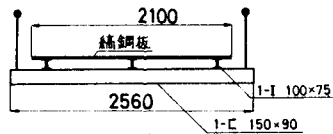


図-1 湯の内橋の桁の断面形状

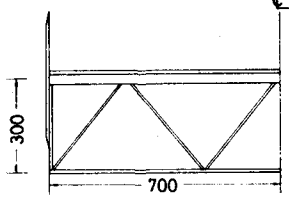


図-2 風洞実験模型の測面図と断面図

Mode	f (Hz)	δ
B, Asym, 1st	0.614 (0.583)	0.103 ---
B, Sym, 1st	0.754 (0.839)	0.0673 ---
B, Sym, 2nd	1.56 (1.16)	0.111 ---
T, Asym, 1st	1.07 (0.921)	0.0842 ---
T, Sym, 1st	1.26 (1.26)	0.184 ---
T, Sym, 2nd	1.99 (1.89)	0.141 ---

表-1 湯の内橋の自由振動特性の実験値と計算値()内の数値)

ことが明らかにされた。

5. ま さ び　簡易吊橋について　風洞によるフランクタ実験を実施し、実橋におけるフランクタ限界風速を推定した。その結果、冬期季節風でもフランクタが発生し得ることが明らかにされた。

謝辞：本研究を行なうにあたり、宮崎県工木部道路維持課と宮崎県面都市ならびに、九州産業大学工学部の亀井頼隆氏と同工木構造力学研究室の卒研究生諸君の援助を受けた。

ここに記して謝意を表したい。

参考文献

- 吉村健他：昭和56年度・工学会西部支部研究發表会講演集
- Y. Nakamura et al : Proc. ASCE, Vol. 102, NOEM4, 1976

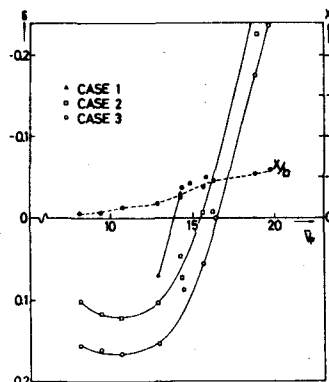


図-3 $R=0.65$ の場合のフランクタ特性

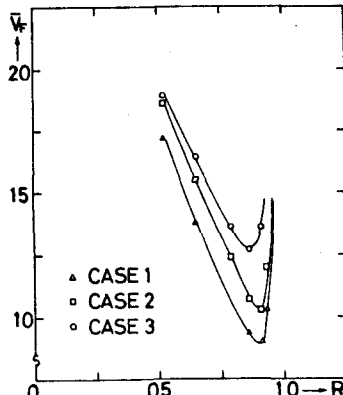


図-5 $R \times \bar{V}_F$ の関係

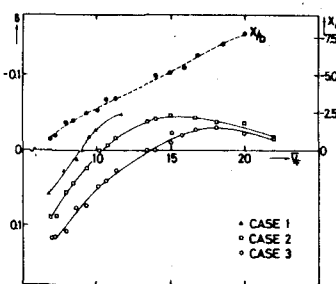


図-4 $R=0.91$ の場合のフランクタ特性

達成モード	R	\bar{V}_F	V_F (m/s)
曲げ対称2次 + ねじり対称1次	0.92	12.5	16.5
曲げ対称1次 + ねじり逆対称1次	0.71	14.8	16.6
曲げ逆対称1次 + ねじり逆対称1次	0.57	17.6	19.8
曲げ対称1次 + ねじり対称1次	0.60	17.0	22.5
曲げ対称2次 + ねじり対称2次	0.58	17.5	36.6

表-2 実橋におけるフランクタ限界風速の推定値